

圆口铜鱼人工繁殖及胚胎发育研究

董纯, 陈小娟, 万成炎, 曹恒源, 唐会元

(水利部中国科学院水工程生态研究所, 水利部水工程生态效应与生态修复重点实验室, 武汉 430079)

摘要: 鉴于金沙江梯级电站开发运行后鱼类栖息地减少、洄游通道受阻、自然繁殖受到影响、早期资源量显著下降、种群生存面临危机的现状, 为了保护鱼类种质资源, 通过人工增殖放流是补充其资源量的主要补救措施。利用船体网箱原位活水驯养的圆口铜鱼(*Coreius guichenoti*)亲鱼, 开展亲鱼驯养、人工催产和胚胎发育研究。结果表明, 圆口铜鱼亲鱼在船体网箱活水驯养条件下, 性腺发育成熟, 可用于人工催产。2017年6月17-30日, 采用二次注射法人工催产3批次, 共产卵约12万粒, 在水温20.5~21.9℃条件下, 针距8~10 h, 效应时间18~19 h, 平均受精率69.3%, 出苗约5万尾。圆口铜鱼卵径1.9~2.2 mm, 卵膜径6.4~7.2 mm, 胚胎发育过程分为受精卵、卵裂期、囊胚期、原肠期、神经胚期、器官形成期和出膜期7个阶段, 在水温20.5~22.5℃, 溶氧7 mg/L以上条件下, 历时48~62 h出膜。研究结果为圆口铜鱼人工繁殖技术提供了参考, 为其规模化人工增殖放流提供了保障。

关键词: 圆口铜鱼; 原位驯养; 人工繁殖; 胚胎发育

中图分类号: Q132 **文献标志码:** A **文章编号:** 1674-3075(2019)03-0115-05

圆口铜鱼(*Coreius guichenoti*)属于鲤形目(Cypriniformes)、鮡亚科(Gotioniae)、铜鱼属(*Coreius*), 是长江上游特有经济鱼类(刘乐和等, 1990; 丁瑞华, 1994)。作为河道洄游性鱼类, 其繁殖过程高度依赖于金沙江中下游的特殊生境。随着金沙江梯级电站的开发运行, 圆口铜鱼栖息地减少, 洄游通道受阻, 繁殖受到影响, 早期资源量显著下降, 种群生存面临危机。通过人工增殖放流补充其资源量是保护圆口铜鱼的主要补救措施。近年来, 多家研究机构开展了圆口铜鱼人工繁殖技术研究, 由于其对小瓜虫极其敏感, 驯养成活率低、性腺发育成熟不完全、卵子和精子质量差, 导致出苗较少。

本研究采用船体网箱原位活水驯养圆口铜鱼, 培育用水为长江水, 水温为天然水温, 温差小, 培育船体有孔, 保证与江水交换顺畅, 水交换量较大, 降低了疾病发生率, 培育环境更符合圆口铜鱼的自然生长发育环境。在该驯养模式下, 开展圆口铜鱼繁殖技术和胚胎发育研究, 旨在为圆口铜鱼人工繁殖技术提供参考, 为其规模化人工增殖放流提供了保障, 对圆口铜鱼的种质资源保护具有重要意义。

1 材料与方法

1.1 材料鱼

本次试验材料圆口铜鱼来源于长江泸州江段, 采用船体网箱原位活水驯养6年左右。驯养期间, 在早晨天亮之前和傍晚天黑之后, 按亲鱼体重的1%~2%少量多次投喂配合饲料(粗蛋白36%、粗脂肪3%)。驯养亲鱼104尾, 尾均重597.26 g, 全长370 mm。

1.2 亲鱼挑选

人工催产前, 亲鱼禁食48 h。先根据亲鱼外部形态特征挑选催产亲鱼, 再依据卵粒和精液的特征判断亲鱼成熟度。雌亲鱼体表粗糙, 腹部膨大, 柔软有弹性, 特别是靠近生殖孔附近较松软, 生殖孔红肿突出, 使用挖卵器伸入生殖孔, 然后向左或向右偏转插入卵巢, 轻轻转动挖卵器, 挖出少许卵粒。如果卵粒饱满, 呈青灰色, 在水中易散开, 说明卵粒成熟, 达到IV期, 可作催产亲鱼; 如果卵粒不饱满, 在水中不易散开, 说明卵粒成熟度不够, 不能用以催产。

雄亲鱼胸鳍追星明显, 手感粗糙, 生殖孔微红, 腹部向上, 用手指沿腹部两侧从胸部向生殖孔轻轻挤压, 有乳白色精液流出且在水中快速散开, 则为成熟亲鱼, 可用以催产; 如果挤压只有少量精液流出, 在水中不易扩散, 则说明亲鱼成熟度不足, 不能用以催产; 如果挤压完全没有精液流出, 说明亲鱼还未成熟。

收稿日期: 2018-06-08

基金项目: 圆口铜鱼人工繁殖技术研究(2)(JGJ/024203); 金沙江中游圆口铜鱼人工驯养繁殖技术研究(JS2010/D5)。

作者简介: 董纯, 1986年生, 女, 助理研究员, 主要从事水生态调查和保护研究。E-mail: dongc1314@163.com

通信作者: 唐会元。E-mail: tanghy@mail.ihe.ac.cn

1.3 人工催产

挑选体重大和性腺发育成熟度高的亲鱼,采用生理盐水配制催产剂,现配现用。催产剂包括促黄体素释放激素类似物(LRH-A₂或LRH-A₃)、鲤脑垂体(PG)和绒毛膜促性腺激素(HCG)。

催产采用二次注射法,催产剂剂量符合下列要求:第一针LRH-A 2~6 μg/kg,雄鱼不注射,第二针PG 4~6 mg + LRH-A 8~14 μg + HCG 800~1 000 IU/kg,根据成熟度,雄鱼采用1/4~1/2雌鱼剂量。注射部位为胸鳍基部无鳞凹陷处,注射时将鱼体浸泡在水中,只露出头部和胸鳍部位,并用毛巾遮住亲鱼眼睛。注射针头与鱼体呈45°,深入胸鳍基部0.5~1.0 cm。

1.4 人工授精

为方便催产操作,首先将待产亲鱼置于浓度为100 g/m³的MS-222中麻醉,待亲鱼呼吸减慢,鱼体侧翻,握于手中无明显挣扎状时,即可采用半干法人工授精。先将雄鱼体表水分擦干,将精液挤入盛有生理盐水的盆中,随即挤入鱼卵,边挤边轻轻摇动授精盆,期间加入适量浓度为5%的葡萄糖和孵化用水继续摇匀,使卵和精子充分接触,之后静置2 min,完成受精过程。

1.5 人工孵化

将受精卵倒入孵化器孵化,受精卵密度为1.1×10⁵粒/m³水体。定时检查孵化器,调节水流并保持充氧,以受精卵轻轻上浮、不堆积缺氧为原则,避免阳光照射。孵化期间,水温维持在20~23℃,溶氧大于7 mg/L;统计受精率,显微观察整个胚胎发育过程。

受精率指鱼卵发育至原肠中期的受精卵数占总卵数的百分比。随机取300粒鱼卵,进行镜检计数。受精率计算公式如下:受精率=正常发育卵数/(正常发育卵数+不正常发育卵数)×100%

2 结果

2.1 催产情况

2017年6月17-30日,从驯养亲鱼中挑选24尾雌鱼和36尾雄鱼,采用二次注射法催产3批次,具体人工繁殖情况见表1。共产卵约12万粒,针距8~10 h,效应时间18~19 h,出膜时间48~62 h,相对繁殖力为12.05~13.61粒/g,平均受精率69.3%,出苗5万余尾,培育1 cm鱼苗约4.5万尾,培育3 cm鱼苗约3.5万尾。整个催产期间,水温20.5~21.9℃。

表1 圆口铜鱼人工繁殖情况

Tab.1 Information of the artificial propagation of *Coreius guichenoti*

日期	亲鱼尾数 (♀/♂)	催产剂 剂量	针距/ h	效应 时间/h	产卵量/ 粒	催产率/ %	出膜 时间/h	受精率/ %	出苗数/ 尾	催产水温/ ℃
2017-06-17	4/8	LRH-A ₃ 16 μg+PG 6 mg+ HCG 1000 IU/kg	10	19	40000	100	62	85	30000	20.5~21.6
2017-06-27	10/16	LRH-A ₃ 16 μg+PG 6 mg+ HCG 1000 IU/kg	9	18	50000	70	52	50.5	20000	20.8~21.7
2017-06-30	10/12	LRH-A ₂ 10.5 μg+PG 4 mg+ HCG 1000 IU/kg	8	18	30000	100	48	72.5	5000	21.1~21.9

2.2 胚胎发育

圆口铜鱼产漂流性卵,成熟卵粒饱满,呈圆球形,青灰色,卵径1.9~2.2 mm,吸水膨胀后卵径为6.4~7.2 mm。孵化期间,水温20.5~22.5℃,溶氧7 mg/L以上,出膜时间48~62 h。圆口铜鱼胚胎发育过程分为受精卵、卵裂期、囊胚期、原肠期、神经胚期、器官形成期和出膜期7个阶段,胚胎发育时序和过程见图1和图2。

3 讨论

3.1 船体网箱原位活水亲鱼驯养的特点

近年来,我国很多机构纷纷研究圆口铜鱼人工繁殖技术,通过增殖放流保护该物种而拥有成熟亲

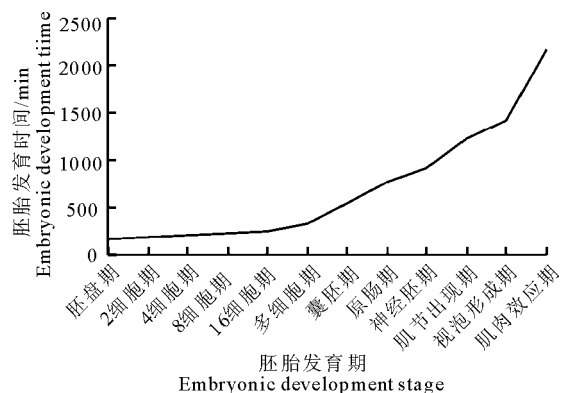
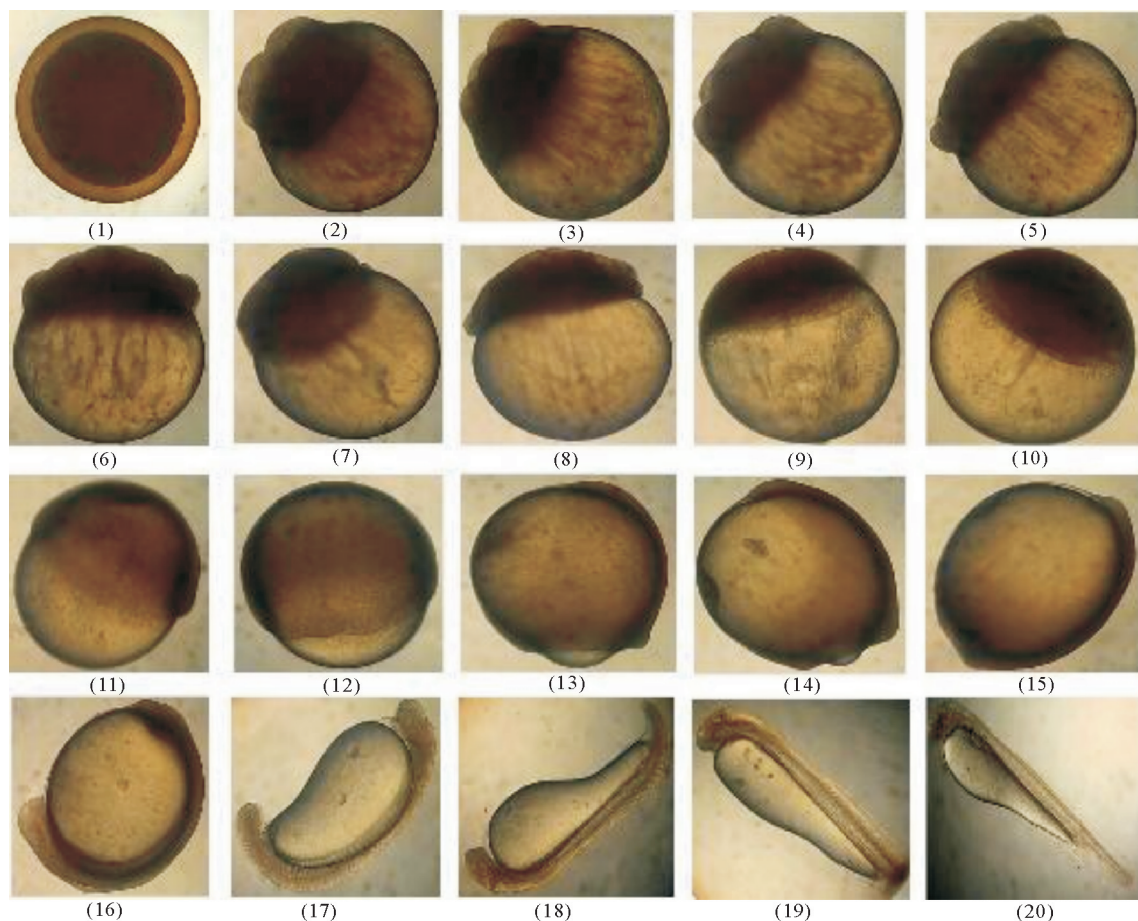


图1 圆口铜鱼胚胎发育时序

Fig.1 Embryonic development of *Coreius guichenoti* over time



(1)受精卵;(2)2 细胞期;(3)4 细胞期;(4)8 细胞期;(5)16 细胞期;(6)多细胞期;(7)囊胚早期;(8)囊胚中期;(9)囊胚晚期;(10)原肠早期;(11)原肠中期;(12)原肠晚期;(13)神经胚期;(14)胚孔封闭期;(15)肌节出现期;(16)尾芽期;(17)肌肉效应期;(18)心脏搏动期;(19)孵出期;(20)初孵仔鱼

图 2 圆口铜鱼胚胎发育过程

(1) fertilized egg; (2) 2-cell; (3) 4-cell; (4) 8-cell; (5) 16-cell; (6) morula; (7) early blastocyst; (8) middle blastocyst; (9) late blastocyst; (10) early gastrula; (11) middle gastrula; (12) late gastrula; (13) neurula; (14) blastopore closed; (15) appearance of myomere; (16) end teeth; (17) muscle effector phase; (18) heart-beating; (19) hatching; (20) larval

Fig.2 Digital images of *Coreius guichenoti* embryonic stages

鱼,是成功催产获得大规模鱼苗的前提条件。针对圆口铜鱼亲鱼驯养,前期采用过室内循环水驯养,但死亡率高,大部分亲鱼性腺发育至 II 期或 III 期,催产获得的卵子和精子质量低下、出苗少,且体质弱、易死亡。本研究采用船体网箱原位活水驯养圆口铜鱼,水深 2.2 m,流速 0.78 m/s,并且网箱四周和底部之间均有 1.5 cm 缝隙,亲鱼性腺可发育至 IV 期,卵子和精子高质量,出苗多。研究表明,通过船体网箱原位活水驯养是获取圆口铜鱼成熟亲鱼的有效方式,具有长江自然水环境,圆口铜鱼栖息于船箱底部,受外界环境干扰少,水体流动性强,水体交换量大,粪便和病菌等不易聚积,感染小瓜虫等疾病几率小,圆口铜鱼驯养成活率高,通过营养强化性腺可发育至成熟,亲鱼可用于人工催产繁殖。这与刘红萍和周波(2018)得出的结果一致。

3.2 催产剂和催产时间对人工催产效果的影响

人工催产前,通常采用注射外源激素诱导促进雌鱼排卵,但催产剂种类和剂量因鱼而异,适量的催产剂可促进卵母细胞同步成熟,过量则会导致过熟而难产(刘筠, 1993; 刘丽丽, 2010)。近年来,水生生态所圆口铜鱼人工催产使用的催产剂主要包括 LRH-A₂、LRH-A₃、PG 和 HCG。2015 年,催产亲鱼性腺处于 III 期,注射 LRH-A₂ 32 μg + PG 7 mg + HCG 1 200 IU / kg,受精率仅 10%;本研究催产亲鱼性腺处于 IV 期,第一批次(6 月 17 日)催产效果最好,注射 LRH-A₃ 16 μg + PG 6 mg + HCG 1 000 IU/kg,受精率达 85%。可见,亲鱼性腺成熟度是保障人工催产效果的重要因素。另外,本研究第三批次(6 月 30 日)受精卵发育至尾芽期时,大部分受精卵的卵膜皱缩破裂,导致出苗很少。对比两

次催产情况,第一批次挤出的精液呈浓稠的乳白色,而第三批次亲鱼性腺过熟,精液明显稀释很多,这可能与没有把握好最佳催产时间和效应时间有关,导致卵和精子过熟、质量下降,因此胚胎发育后期出现卵膜皱缩,提前破裂现象,具体原因有待进一步研究。由此可见,催产剂、催产时间和亲鱼性腺成熟度是成功实现圆口铜鱼人工催产的关键。

3.3 不同鱼类的卵膜径与其繁殖策略的关系

漂流性鱼卵的卵膜径一般为 3.0~7.0 mm,因种属不同,其卵膜径存在显著差异。如银鮠(*Squalidus argentatus*)、蛇鮠(*Saurogobio dabryi*)的卵膜径为 3.0~4.0 mm,属于小型鱼卵;翘嘴鲌(*Erythroculter ilishaeformis*)、赤眼鲮(*Spualio barbusturriculus*)和花斑副沙鳅(*Parabotia fasciata Dabry*)的卵膜径为 4.0~5.0 mm,属于中型鱼卵;草鱼(*Ctenopharyngodon idellus*)、铜鱼(*Coreius heterodon*)和圆筒吻鮠(*Rhinogobio cylindricus*)的卵膜径为 5.0~6.5 mm,属于大型鱼卵(周春生等,1980)。漂流性卵从卵产出到仔鱼具备溯游能力,一般需要 30~40 h,按河流平均流速推算,流程在 400 km 左右。圆口铜鱼的卵径为 1.9~2.2 mm,卵膜径为 6.4~7.2 mm,为大型鱼卵,大卵含有较多的卵黄,延长从内源性营养向外源性营养阶段的转变,避免仔鱼因摄食不足而死亡,从而提高仔鱼成活率(Leblanc et al, 2016)。另外,较大的卵周隙,一方面可在漂流期间有效抗击外界环境的冲击,为胚胎发育提供安全的内部环境;另一方面扩大了卵体积,使其密度减小,实现漂流发育,鱼卵吸水后的一系列生理变化是其繁殖策略的重要体现(Lake, 1967; 管敏等, 2015)。

3.4 卵径大小和孵化水温对鱼类胚胎发育的影响

在水温 20.5~22.5℃、溶氧 7 mg/L 以上孵化条件下,圆口铜鱼受精卵出膜时间为 48~62 h。有研究表明,鱼卵的大小会影响鱼类胚胎发育速度,鱼卵越大,其胚胎发育速度越慢(Bobe & Labbe, 2010; Leblanc et al, 2016)。胭脂鱼(*Myxocyprinus asiaticus*)卵径为 1.8~2.1 mm,水温 17.6~19.4℃时,胚胎发育历时约 148 h(万远等, 2013);云南盘鮠(*Discogobio yunnanensis*)卵径为 2.05~2.20 mm,水温 17~19℃时,胚胎发育历时 168 h 30 min(赵健蓉等, 2017);而圆口铜鱼卵径为 1.9~2.2 mm,水温 20.5~22.5℃时,胚胎发育历时 48~62 h。这种差异说明胚胎发育时长不仅与鱼卵大小有关,孵化水温也是影响鱼类胚胎发育的主要

因素(谢仰杰等, 2001)。

圆口铜鱼的胚胎发育速度在一定程度上取决于温度。本研究发现,圆口铜鱼受精卵孵化水温为 20.5~21.6℃时,经 62 h 出膜;孵化水温为 21.1~21.9℃时,经 48 h 即可出(表 1)。这与长鳍吻鮠(*Rhinogobio ventralis*)的胚胎发育类似,孵化水温为 16.4~17.2℃,经 72 h 出膜,孵化水温为 17.6~18.3℃,经 56 h 出膜(管敏等, 2015)。由此可见,在一定温度范围内,水温升高可以促进鱼类的胚胎发育,水温降低则会延缓发育。

参考文献

- 丁瑞华, 1994. 四川鱼类志[M]. 成都: 四川科技出版社.
- 管敏, 肖衍, 胡美宏, 等, 2015. 长鳍吻鮠胚胎发育和仔鱼发育[J]. 渔业科学进展, 36(4): 57-64.
- 刘红萍, 周波, 2018. 圆口铜鱼的生物学研究现状、问题与对策[J]. 养殖世界, 31(1): 37-38.
- 刘筠, 1993. 中国养殖鱼类繁殖生理学[M]. 北京: 农业出版社.
- 刘乐和, 吴国犀, 王志玲, 1990. 葛洲坝水利枢纽兴建后长江干流铜鱼和圆口铜鱼繁殖生态[J]. 水生生物学报, 14(3): 205-215.
- 刘丽丽, 2010. 半刺厚唇鱼的性腺发育及人工繁殖研究[D]. 福州: 福建师范大学.
- 万远, 占阳, 欧阳珊, 等, 2013. 胭脂鱼胚胎及仔鱼早期发育观察[J]. 南昌大学学报(理科版), 37(1): 78-82.
- 谢仰杰, 翁朝红, 管延华, 等, 2001. 温度对花尾胡椒鲷胚胎发育的影响[J]. 集美大学学报(自然科学版), 6(2): 138-143.
- 赵健蓉, 解崇友, 蔡瑞钰, 等, 2017. 云南盘鮠人工繁殖及胚胎发育初步观察[J]. 南方水产科学, 13(5): 124-128.
- 周春生, 梁秩桑, 黄鹤年, 1980. 兴修水利枢纽后汉江产漂流性卵鱼类的繁殖生态[J]. 水生生物学报, 7(2): 175-188.
- Bobe J, Labbe C, 2010. Egg and sperm quality in fish[J]. General and Comparative Endocrinology, 165(3): 535-548.
- Lake J S, 1967. Rearing experiments with five species of Australian freshwater fishes II. Morphogenesis and ontogeny[J]. Marine & Freshwater Research, 18(2): 155-176.
- Leblanc C A, Kristjansson B K, Skulason S, 2016. The importance of egg size and egg energy density for early size patterns and performance of Arctic charr *Salvelinus alpinus*[J]. Aquaculture Research, 47(4): 1100-1111.

Artificial Propagation and Embryonic Development of *Coreius guichenoti*

DONG Chun, CHEN Xiao-juan, WAN Cheng-yan, CAO Heng-yuan, TANG Hui-yuan

(Key Laboratory of Ecological Impacts of Hydraulic-Projects and Restoration of Aquatic Ecosystem of Ministry of Water Resources, Institute of Hydroecology, Ministry of Water Resources and Chinese Academy of Sciences, Wuhan 430079, P.R.China)

Abstract: *Coreius guichenoti* is an economic fish species endemic to the upper Yangtze River. Cascaded hydropower development on the Jinsha River has severely altered the habitat and migration routes of *C. guichenoti*, resulting in a sharp decline of early life stage populations and threatening wild populations. It is thus necessary to conserve *C. guichenoti* germplasm resources and artificial propagation and release is the primary means available. In this study, we describe and illustrate the propagation technology and embryonic development of *C. guichenoti*. Parental fish, collected from the Luzhou section of Yangtze River, were reared in-situ in a cage. Then, from June 17 - 30 of 2017, 24 females and 36 males were selected for artificial spawning and propagation. The gonads matured during in-situ domestication and spawning was induced three times. Fish were injected twice, at an interval of 8 - 10 h, and the response time was 18 - 19 h, at a water temperature of 20.5 - 21.9°C. A total of 120 000 eggs were obtained, with the relative fecundity of 12.05 - 13.61 eggs/g. Artificial fertilization was carried out by the semi-dry method and the average fertilization rate was 69.3%, resulting in a total of 50 000 fries. The eggs were pelagic, ovate and steel grey, with an average diameter of 1.9 - 2.2 mm and swelled to 6.4 - 7.2 mm. Zygotes were incubated at 20.5 - 22.5°C and DO > 7 mg/L. Embryonic development required 48 - 62 h and occurred in seven stages: fertilized egg, cleavage, blastula, gastrula, neurula, organ development, and release of newly hatched larvae from the membrane. This study provides a technical reference for large-scale artificial propagation of *C. guichenoti*.

Key words: *Coreius guichenoti*; in situ domestication; artificial propagation; embryonic development